

MAXIM

低成本、单声道/立体声、 1.4W差分音频功率放大器

MAX9718/MAX9719

概述

MAX9718/MAX9719是差分输入音频功率放大器，适用于内置扬声器的便携式音频设备。差分输入结构改善了噪声抑制能力，并提供共模抑制。桥接负载 (BTL)结构在提供高品质音频功率放大的同时，大大减少了外部元件数。MAX9718是单通道放大器，而 MAX9719是用于立体声系统的双通道放大器。采用 +5V单电源供电时，这两款器件的每个通道都能以小于 1%的 THD+N向 4Ω负载输出 1.4W的连续平均功率。这些器件既可以提供增益可调的放大器，也可以提供 0dB、3dB和 6dB的内部固定增益，以减少元件数目。

关断输入可以禁用偏置电压发生器和放大器，使静态电流损耗降低到 100nA以内。MAX9718的关断输入可以设定为高电平有效或低电平有效。这些器件具有 Maxim 完备的杂音抑制电路，可以降低启动和关断过程的咔嗒声或噼噓声。

MAX9718与 LM4895引脚兼容，提供 9焊球 UCSP™，10引脚 TDFN和 10引脚 μMAX®封装。MAX9719提供 16引脚 TQFN、16引脚 TSSOP和 16焊球 UCSP封装。这些器件都工作在 -40°C至 +85°C扩展温度范围。

应用

移动电话
PDA
便携式装置

特性

- ◆ 2.7V至 5.5V单电源供电
- ◆ 高 PSRR，217Hz时 -93dB
- ◆ 以 1%的 THD+N为 4Ω负载提供 1.4W功率 (每通道)
- ◆ 差分输入
- ◆ 内部固定增益，可以减少元件数目
- ◆ 可调增益选择 (MAX9718A/MAX9719A)
- ◆ 100nA低功耗关断模式
- ◆ 上电/断电时无咔嗒声或噼噓声
- ◆ 与 LM4895引脚兼容的升级产品 (MAX9718D)

订购信息

PART	TEMP RANGE	PIN-PACKAGE	GAIN (dB)
MAX9718AEBL-T	-40°C to +85°C	3 x 3 UCSP	Adj
MAX9718AETB	-40°C to +85°C	10 TDFN-EP*	Adj
MAX9718AEUB	-40°C to +85°C	10 μMAX-EP*	Adj

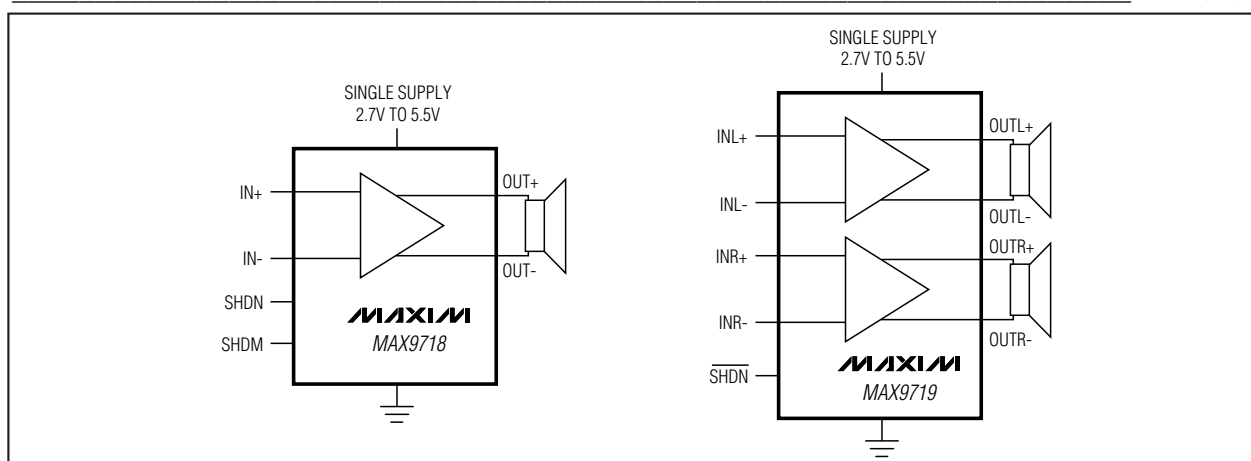
*EP = Exposed paddle.

订购信息的后续部分在本资料的最后给出。

引脚配置在本资料的最后给出。

UCSP是 Maxim Integrated Products, Inc.的商标。
μMAX是 Maxim Integrated Products, Inc.的注册商标。

原理框图



MAXIM

Maxim Integrated Products 1

本文是 Maxim 正式英文资料的译文，Maxim 不对翻译中存在的差异或由此产生的错误负责。请注意译文中可能存在文字组织或翻译错误，如需确认任何词语的准确性，请参考 Maxim 提供的英文版资料。

索取免费样品和最新版的数据资料，请访问 Maxim 的主页：www.maxim-ic.com.cn。

低成本、单声道/立体声、 1.4W差分音频功率放大器

MAX9718/MAX9719

ABSOLUTE MAXIMUM RATINGS

Supply Voltage (V_{CC} to GND)-0.3V to +6V
 Any Other Pin to GND-0.3V to ($V_{CC} + 0.3V$)
 I_{IN-} , BIAS, SHDM, SHDN, \overline{SHDN} Continuous Current20mA
 I_{OUT-} Short-Circuit Duration to GND or V_{CC} Continuous
 Continuous Power Dissipation ($T_A = +70^\circ\text{C}$)
 9-Bump UCSP (derate 5.2mW/ $^\circ\text{C}$ above $+70^\circ\text{C}$)412mW
 10-Pin TDFN (derate 24.4mW/ $^\circ\text{C}$ above $+70^\circ\text{C}$)1951mW
 10-Pin μMAX (derate 10.3mW/ $^\circ\text{C}$ above $+70^\circ\text{C}$)825mW
 16-Bump UCSP (derate 8.2mW/ $^\circ\text{C}$ above $+70^\circ\text{C}$)659mW
 16-Pin TQFN (derate 16.9mW/ $^\circ\text{C}$ above $+70^\circ\text{C}$)1349mW
 16-Pin TSSOP (derate 21.3mW/ $^\circ\text{C}$ above $+70^\circ\text{C}$)1702mW

Operating Temperature Range-40 $^\circ\text{C}$ to +85 $^\circ\text{C}$
 Junction Temperature+150 $^\circ\text{C}$
 Storage Temperature Range-65 $^\circ\text{C}$ to +150 $^\circ\text{C}$
 Bump Temperature (soldering) Reflow+235 $^\circ\text{C}$
 Lead Temperature (soldering, 10s)+300 $^\circ\text{C}$

Stresses beyond those listed under "Absolute Maximum Ratings" may cause permanent damage to the device. These are stress ratings only, and functional operation of the device at these or any other conditions beyond those indicated in the operational sections of the specifications is not implied. Exposure to absolute maximum rating conditions for extended periods may affect device reliability.

ELECTRICAL CHARACTERISTICS—5V Supply

$V_{CC} = 5V$, GND = 0, SHDN/ $\overline{SHDN} = V_{CC}$ (MAX9718/MAX9719), SHDM = GND (MAX9718), $R_{IN} = R_F = 10k\Omega$ (MAX971_A), $T_A = +25^\circ\text{C}$. $C_{BIAS} = 0.1\mu\text{F}$, no load. Typical values are at $T_A = +25^\circ\text{C}$, unless otherwise noted.) (Note 1)

PARAMETER	SYMBOL	CONDITIONS		MIN	TYP	MAX	UNITS
Supply Voltage	V_{CC}			2.7		5.5	V
Supply Current	I_{CC}	$V_{IN-} = V_{IN+} = V_{BIAS}$, $T_A = -40^\circ\text{C}$ to $+85^\circ\text{C}$, per amplifier (Note 2)			5.0	7.5	mA
Shutdown Supply Current	I_{SHDN}	SHDN = SHDM = $\overline{SHDN} = \text{GND}$, per amplifier			0.1	1	μA
\overline{SHDN} , SHDN, SHDM Threshold	V_{IH}			0.7 x V_{CC}			V
	V_{IL}			0.3 x V_{CC}			
Common-Mode Bias Voltage	V_{BIAS}	(Note 3)		$V_{CC}/2 - 5\%$	$V_{CC}/2$	$V_{CC}/2 + 5\%$	V
Output Offset Voltage	V_{OS}	$V_{IN-} = V_{IN+} = V_{BIAS}$	$A_V = 0\text{dB}$, MAX971_A, MAX971_B		± 1	± 10	mV
			$A_V = 3\text{dB}$, MAX971_C		± 1	± 15	
			$A_V = 6\text{dB}$, MAX971_D		± 1	± 20	
Common-Mode Input Voltage	V_{IC}	Inferred from CMRR test	$A_V = 0\text{dB}$, MAX971_B	0.5		$V_{CC} - 0.5$	V
			$A_V = 3\text{dB}$, MAX971_C	0.5		$V_{CC} - 0.6$	
			$A_V = 6\text{dB}$, MAX971_D	0.5		$V_{CC} - 0.8$	
		External gain, MAX971_A	0.5		$V_{CC} - 1.2$		
Input Impedance	R_{IN}	MAX971_B, MAX971_C, MAX971_D		10	15	20	$k\Omega$
Common-Mode Rejection Ratio	CMRR	$f_n = 1\text{kHz}$		-50	-60		dB
					-60		
Power-Supply Rejection Ratio	PSRR	$V_{IN-} = V_{IN+} = V_{BIAS}$, $V_{RIPPLE} = 200\text{mV}_{P-P}$, $R_L = 8\Omega$, $C_{BIAS} = 1\mu\text{F}$	$f = 217\text{Hz}$		-93		dB
			$f = 1\text{kHz}$		-90		
Output Power	P_{OUT}	THD+N = 1%, $f_{IN} = 1\text{kHz}$ (Note 4)	$R_L = 8\Omega$	0.8	1.1		W
			$R_L = 4\Omega$		1.4		
Total Harmonic Distortion Plus Noise	THD+N	$R_L = 8\Omega$, $f_{IN} = 1\text{kHz}$, $P_{OUT} = 0.75\text{W}$, $V_{CC} = 5V$, $A_V = 6\text{dB}$ (Note 5)			0.002		%

低成本、单声道/立体声、 1.4W差分音频功率放大器

ELECTRICAL CHARACTERISTICS—5V Supply (continued)

$V_{CC} = 5V$, $GND = 0$, $\overline{SHDN}/\overline{SHDN} = V_{CC}$ (MAX9718/MAX9719), $\overline{SHDM} = GND$ (MAX9718), $R_{IN} = R_F = 10k\Omega$ (MAX971_A), $T_A = +25^\circ C$. $C_{BIAS} = 0.1\mu F$, no load. Typical values are at $T_A = +25^\circ C$, unless otherwise noted.) (Note 1)

PARAMETER	SYMBOL	CONDITIONS	MIN	TYP	MAX	UNITS
Gain Accuracy		MAX971_B/MAX971_C/MAX971_D			± 1	%
Channel-to-Channel Gain Matching		MAX9719B/MAX9719C/MAX9719D			± 1	%
Signal-to-Noise Ratio	SNR	$P_{OUT} = 1W$, $R_L = 8\Omega$		-104		dB
Thermal-Shutdown Threshold				+160		$^\circ C$
Thermal-Shutdown Hysteresis				15		$^\circ C$
Maximum Capacitive Drive	C_{LOAD}	Bridge-tied capacitance		500		pF
Power-Up/Enable from Shutdown Time	t_{PU}			10		ms
Shutdown Time	t_{SHDN}			3.5		μs
Turn-Off Transient	V_{POP}	(Note 6)		50		mV
Crosstalk		MAX9719, $f_{IN} = 1kHz$		-85		dB

ELECTRICAL CHARACTERISTICS—3V Supply

$V_{CC} = 3V$, $GND = 0$, $\overline{SHDN}/\overline{SHDN} = V_{CC}$ (MAX9718/MAX9719), $\overline{SHDM} = GND$ (MAX9718), $R_{IN} = R_F = 10k\Omega$ (MAX971_A), $T_A = +25^\circ C$. $C_{BIAS} = 0.1\mu F$, no load. Typical values are at $T_A = +25^\circ C$, unless otherwise noted.) (Note 1)

PARAMETER	SYMBOL	CONDITIONS	MIN	TYP	MAX	UNITS
Supply Current	I_{CC}	$V_{IN-} = V_{IN+} = V_{BIAS}$, $T_A = -40^\circ C$ to $+85^\circ C$, per amplifier (Note 2)		3.8	6.0	mA
Shutdown Supply Current	I_{SHDN}	$\overline{SHDN} = \overline{SHDM} = \overline{SHDN} = GND$, per amplifier		0.1	1	μA
\overline{SHDN} , \overline{SHDN} , \overline{SHDM} Threshold	V_{IH}		0.7 x V_{CC}			V
	V_{IL}		0.3 x V_{CC}			
Common-Mode Bias Voltage	V_{BIAS}	(Note 3)	$V_{CC}/2 - 5\%$	$V_{CC}/2$	$V_{CC}/2 + 5\%$	V
Output Offset Voltage	V_{OS}	$V_{IN-} = V_{IN+} = V_{BIAS}$	$A_V = 0dB$, MAX971_A/MAX971_B	± 1	± 10	mV
			$A_V = 3dB$, MAX971_C	± 1	± 15	
			$A_V = 6dB$, MAX971_D	± 1	± 20	
Common-Mode Input Voltage	V_{IC}	Inferred from CMRR test	$A_V = 0dB$, MAX971_B	0.5	$V_{CC} - 0.7$	V
			$A_V = 3dB$, MAX971_C	0.5	$V_{CC} - 0.8$	
			$A_V = 6dB$, MAX971_D	0.5	$V_{CC} - 1.0$	
		External gain, MAX971_A	0.5	$V_{CC} - 1.2$		
Input Impedance	R_{IN}	MAX971_B/MAX971_C/MAX971_D	10	15	20	$k\Omega$
Common-Mode Rejection Ratio	CMRR		-50	-60		dB
		$f_N = 1kHz$		-70		
Power-Supply Rejection Ratio	PSRR	$V_{IN-} = V_{IN+} = V_{BIAS}$, $V_{RIPPLE} = 200mV_{P-P}$, $R_L = 8\Omega$, $C_{BIAS} = 1\mu F$	$f = 217Hz$	-93		dB
			$f = 1kHz$	-90		

低成本、单声道/立体声、 1.4W差分音频功率放大器

MAX9718/MAX9719

ELECTRICAL CHARACTERISTICS—3V Supply (continued)

$V_{CC} = 3V$, $GND = 0$, $SHDN/SHDN\bar{N} = V_{CC}$ (MAX9718/MAX9719), $SHDM = GND$ (MAX9718), $R_{IN} = R_F = 10k\Omega$ (MAX971_A), $T_A = +25^\circ C$. $C_{BIAS} = 0.1\mu F$, no load. Typical values are at $T_A = +25^\circ C$, unless otherwise noted.) (Note 1)

PARAMETER	SYMBOL	CONDITIONS	MIN	TYP	MAX	UNITS
Output Power	P_{OUT}	$R_L = 8\Omega$, $THD+N = 1\%$, $f_{IN} = 1kHz$ (Note 4)		475		mW
Total Harmonic Distortion Plus Noise	THD+N	$R_L = 8\Omega$, $f_{IN} = 1kHz$, $P_{OUT} = 0.25W$, $A_V = 6dB$		0.003		%
Thermal-Shutdown Threshold				+160		$^\circ C$
Thermal-Shutdown Hysteresis				15		$^\circ C$
Maximum Capacitive Drive	C_{LOAD}	Bridge-tied capacitance		500		pF
Power-Up/Enable from Shutdown Time	t_{PU}			10		ms
Shutdown Time	t_{SHDN}			3		μs
Turn-Off Transient	V_{POP}	(Note 6)		40		mV
Crosstalk		MAX9719, $f_{IN} = 1kHz$		-85		dB

Note 1: All specifications are 100% tested at $T_A = +25^\circ C$. Specifications over temperature ($T_A = T_{MIN}$ to T_{MAX}) are guaranteed by design, not production tested.

Note 2: Quiescent power-supply current is specified and tested with no load. Quiescent power-supply current depends on the offset voltage when a practical load is connected to the amplifier. Guaranteed by design.

Note 3: Common-mode bias voltage is the voltage on BIAS and is nominally $V_{CC}/2$.

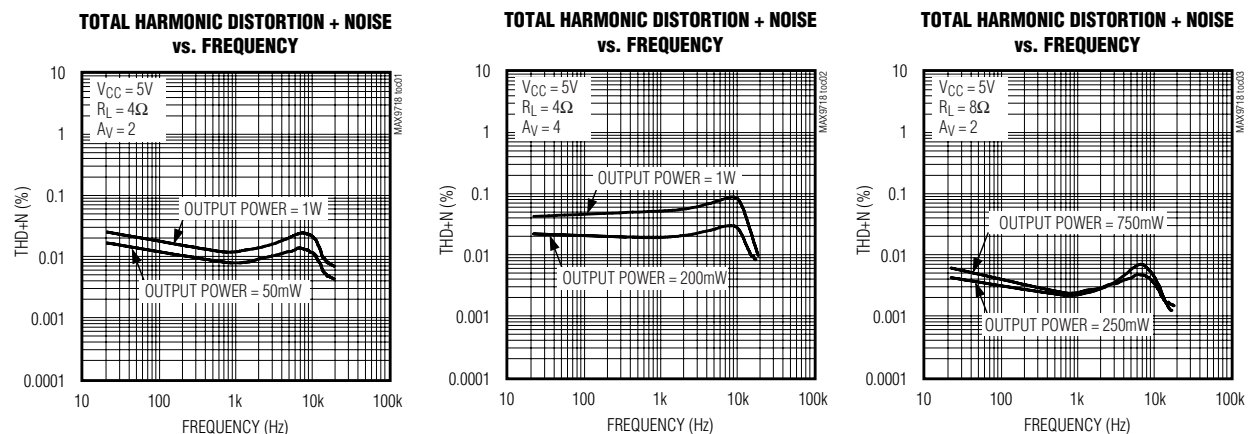
Note 4: Output power is specified by a combination of a functional output current test and characterization analysis.

Note 5: Measurement bandwidth for THD+N is 22Hz to 22kHz.

Note 6: Peak voltage measured at power-on, power-off, into or out of SHDN. Bandwidth defined by A-weighted filters, inputs at AC GND. V_{CC} rise and fall times greater than or equal to 1ms.

典型工作特性

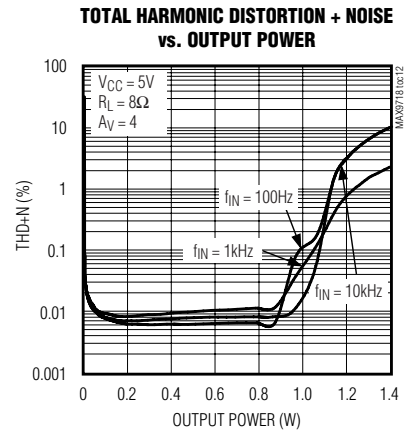
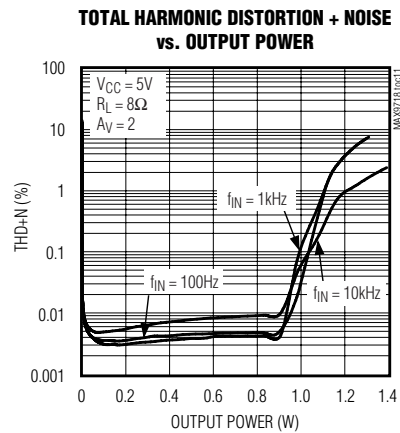
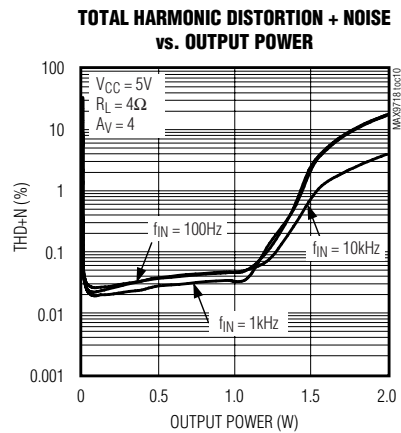
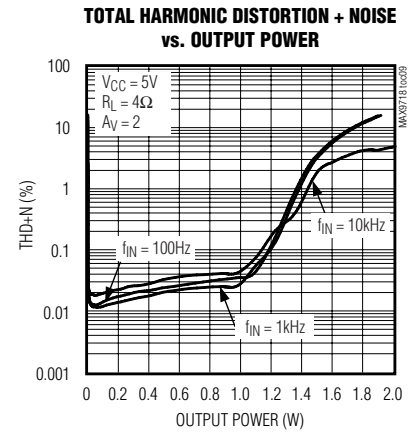
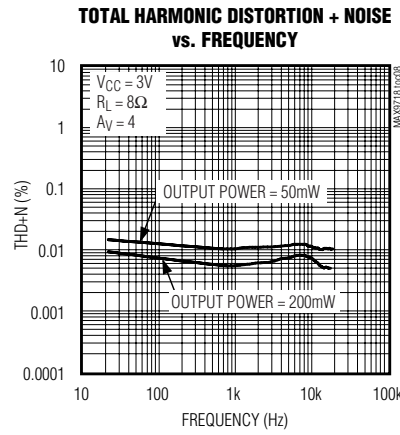
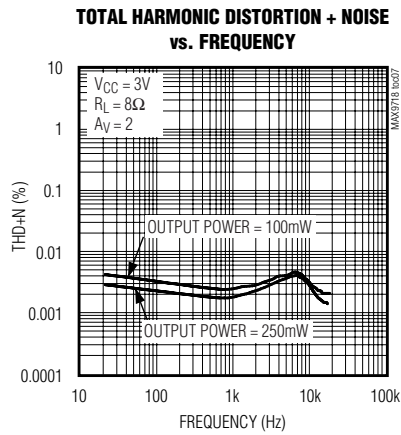
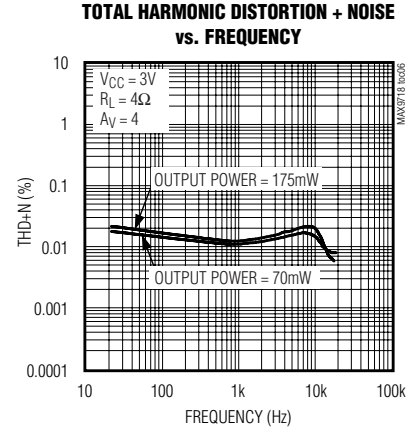
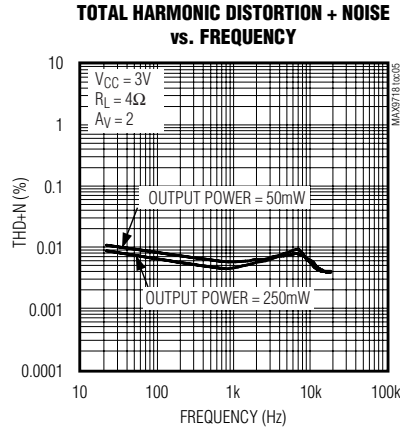
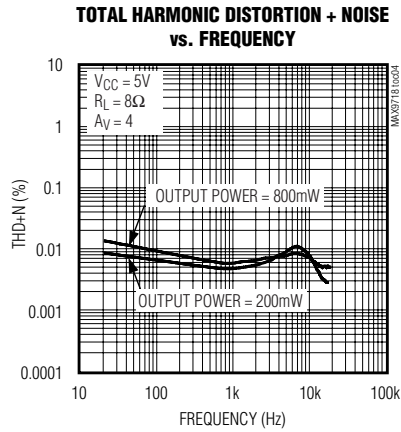
($V_{CC} = 5V$, $C_{BIAS} = 0.1\mu F$, THD+N measurement bandwidth = 22Hz to 22kHz, $T_A = +25^\circ C$, unless otherwise noted.)



低成本、单声道/立体声、1.4W差分音频功率放大器

典型工作特性 (续)

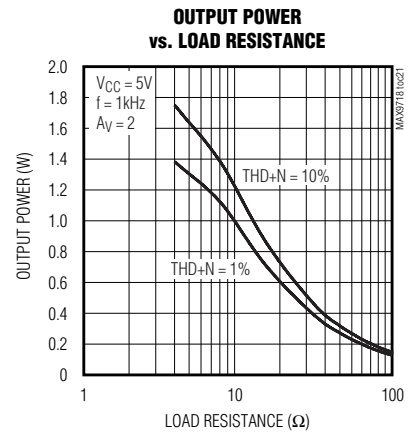
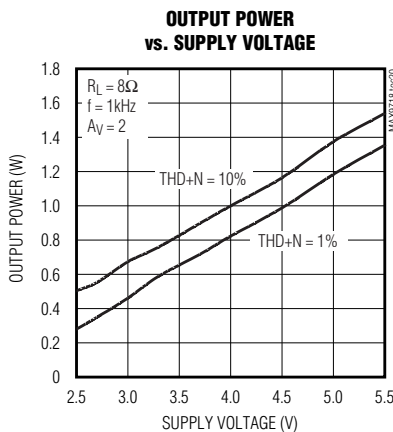
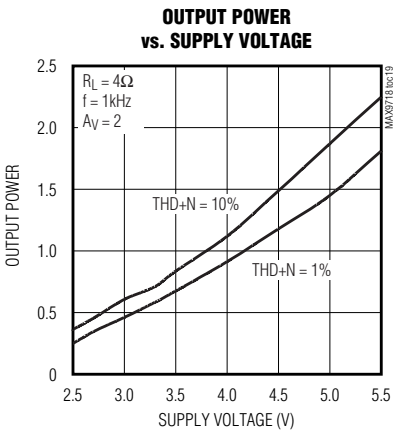
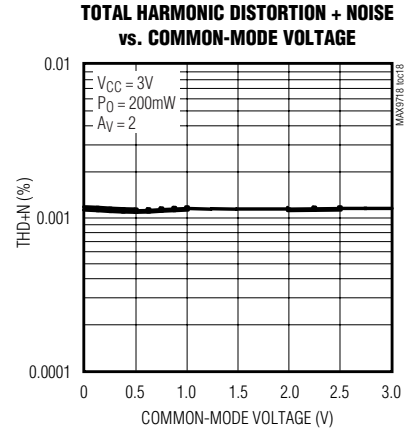
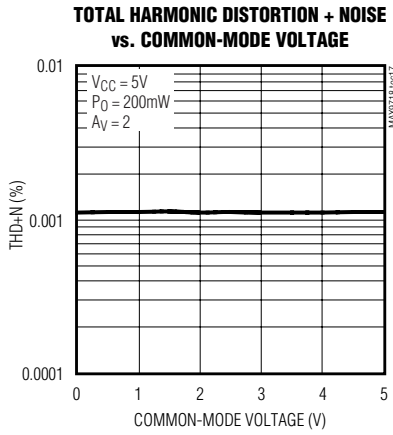
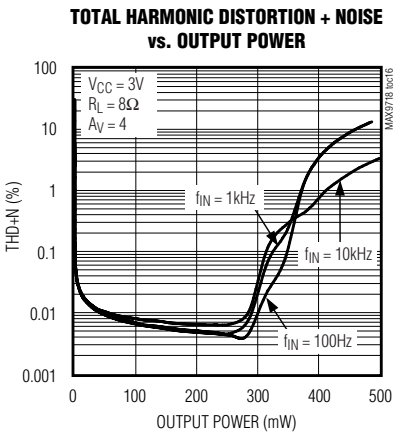
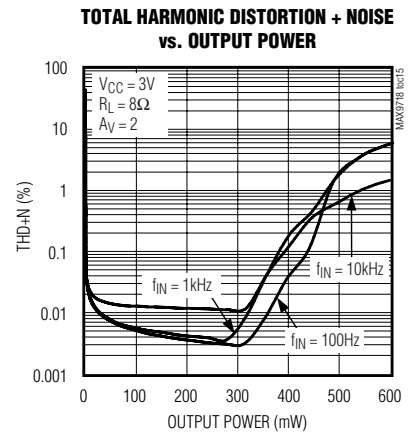
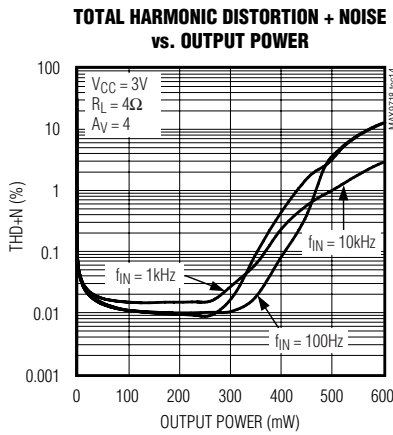
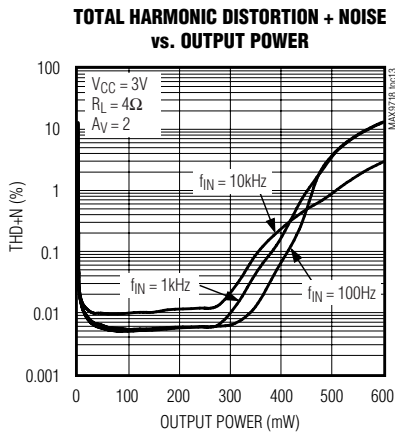
($V_{CC} = 5V$, $C_{BIAS} = 0.1\mu F$, THD+N measurement bandwidth = 22Hz to 22kHz, $T_A = +25^\circ C$, unless otherwise noted.)



低成本、单声道/立体声、 1.4W差分音频功率放大器

典型工作特性 (续)

($V_{CC} = 5V$, $C_{BIAS} = 0.1\mu F$, THD+N measurement bandwidth = 22Hz to 22kHz, $T_A = +25^\circ C$, unless otherwise noted.)

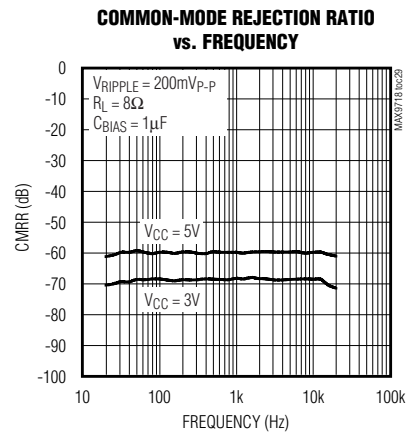
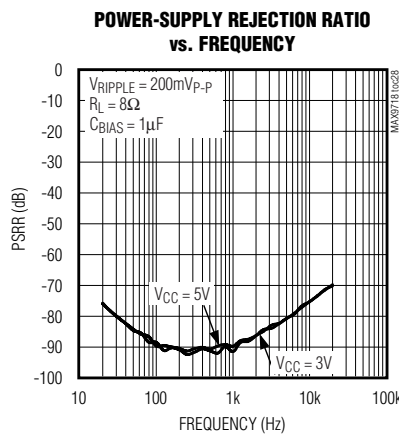
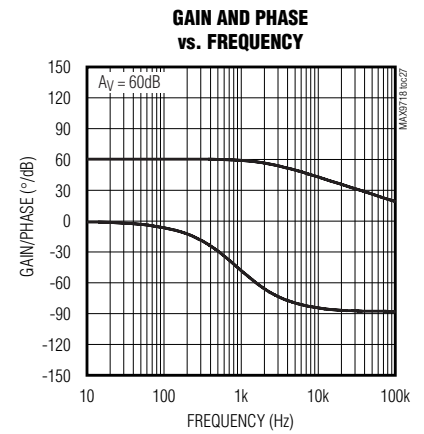
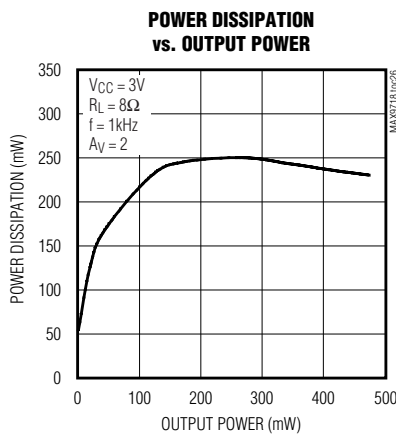
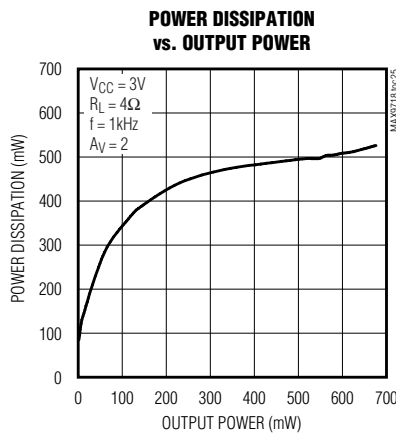
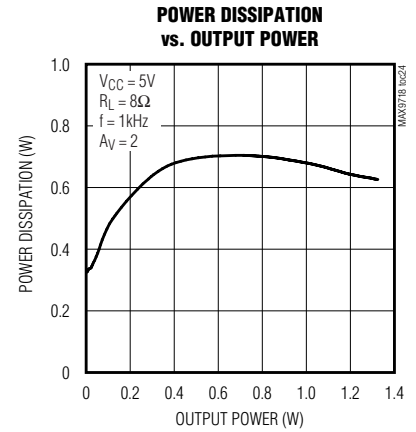
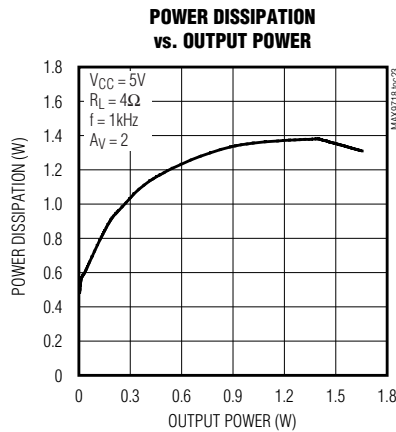
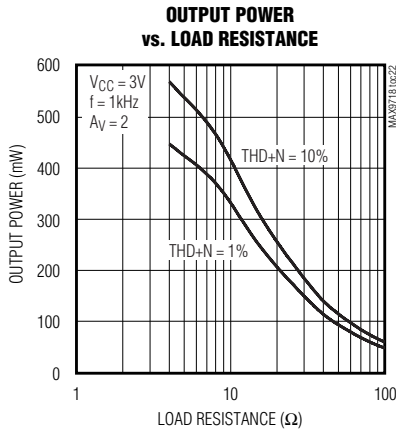


低成本、单声道/立体声、1.4W差分音频功率放大器

典型工作特性 (续)

($V_{CC} = 5V$, $C_{BIAS} = 0.1\mu F$, THD+N measurement bandwidth = 22Hz to 22kHz, $T_A = +25^\circ C$, unless otherwise noted.)

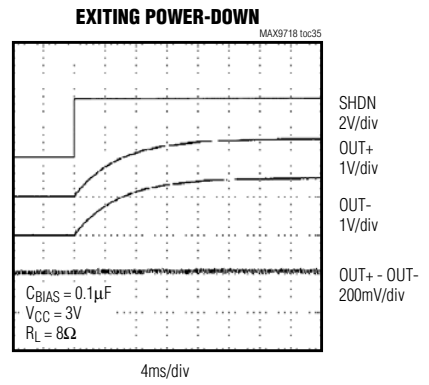
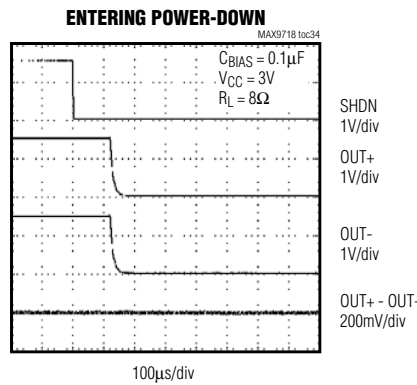
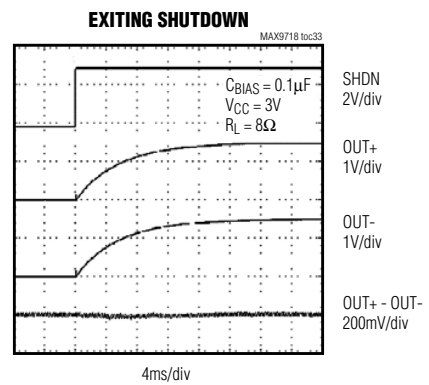
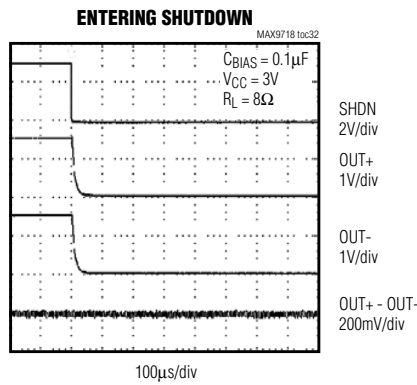
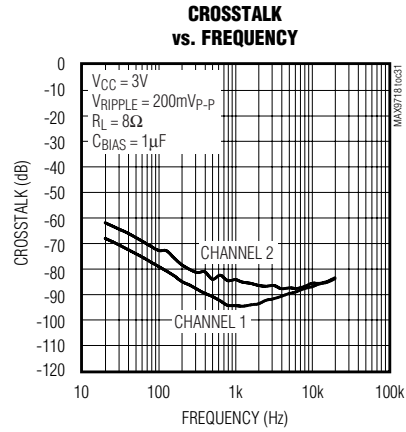
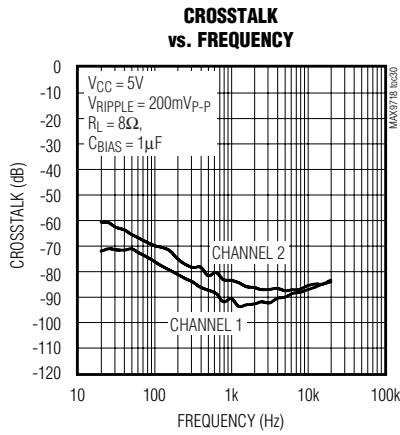
MAX9718/MAX9719



低成本、单声道/立体声、1.4W差分音频功率放大器

典型工作特性 (续)

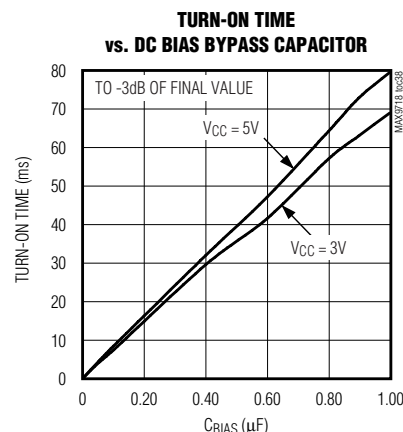
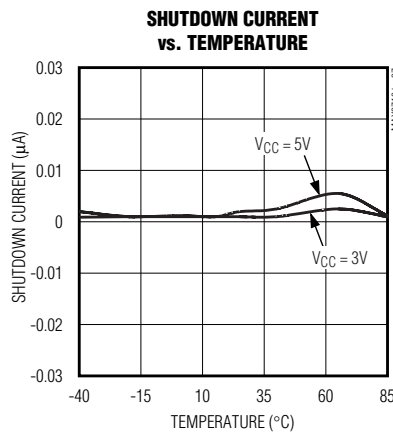
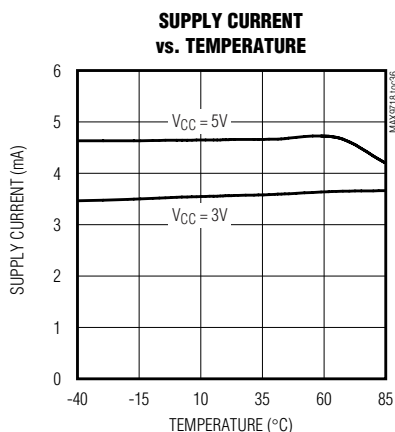
($V_{CC} = 5V$, $C_{BIAS} = 0.1\mu F$, THD+N measurement bandwidth = 22Hz to 22kHz, $T_A = +25^\circ C$, unless otherwise noted.)



低成本、单声道/立体声、 1.4W差分音频功率放大器

典型工作特性 (续)

($V_{CC} = 5V$, $C_{BIAS} = 0.1\mu F$, THD+N measurement bandwidth = 22Hz to 22kHz, $T_A = +25^\circ C$, unless otherwise noted.)



MAX9718/MAX9719

引脚说明

引脚					名称	功能
MAX9718		MAX9719				
TDFN/ µMAX	UCSP	TQFN	UCSP	TSSOP		
1	C2	—	—	—	SHDN	关断输入, SHDN的极性取决于 SHDM的状态。
—	—	9	B3	11	\overline{SHDN}	关断输入, 低电平有效的关断输入。
2	C1	—	—	—	IN-	反相输入。
3	B2	—	—	—	SHDM	关断模式极性输入, SHDM控制 SHDN的极性。将 SHDM接高电平, 得到高电平有效的SHDN输入; 将SHDM接低电平, 得到低电平有效的 SHDN输入 (见表 1)。
4	A1	—	—	—	IN+	同相输入。
5	A2	5	B2	7	BIAS	直流偏置旁路。
6	A3	—	—	—	OUT-	桥式放大器负输出。
7	B3	1, 6, 11	A2, C2, C4	3, 8, 13	GND	地
8	—	13	—	15	N.C.	无连接, 内部未连接。
9	B1	8, 14	A4, D3	16, 10	VCC	电源。
10	C3	—	—	—	OUT+	桥式放大器正输出。
—	—	2	C1	4	INR+	右声道同相输入。
—	—	3	B1	5	INL-	左声道反相输入。
—	—	4	A1	6	INL+	左声道同相输入。
—	—	7	A3	9	OUTL+	左声道桥式放大器正输出。
—	—	10	B4	12	OUTL-	左声道桥式放大器负输出。

低成本、单声道/立体声、 1.4W差分音频功率放大器

引脚说明 (续)

引脚					名称	功能
MAX9718		MAX9719				
TDFN/ μMAX	UCSP	TQFN	UCSP	TSSOP		
—	—	12	D4	14	OUTR+	右声道桥式放大器正输出。
—	—	15	D2	1	OUTR-	右声道桥式放大器负输出。
—	—	16	D1	2	INR-	右声道反相输入。
EP	—	EP	—	EP	EP	裸露焊盘，将 EP 与 GND 连接。

详细说明

MAX9718/MAX9719 是 1.4W BTL 扬声器放大器。MAX9718 是单声道扬声器放大器，而 MAX9719 是立体声扬声器放大器。两种器件都具有低功耗关断模式和业界领先的杂音抑制功能。MAX9718 具有两种关断输入方案，可以分别配置为高电平有效或低电平有效关断。这些器件由高输出电流音频放大器组成，音频放大器配置为 BTL 放大器 (见功能框图)。提供可调增益和固定增益 (0dB、3dB、6dB) 产品。

偏置

这些器件工作在 2.7V 至 5.5V 单电源，由内部产生共模偏置电压，该共模偏置电压相对于地电位为 $V_{CC}/2$ 。偏置电路既提供杂音抑制，也为音频输出设置直流偏置电平。按照“偏置电容”部分的说明选择旁路电容。不要在 BIAS 引脚接外部负载，以免影响整体性能。

关断模式

MAX9718/MAX9719 具有 100nA 低功耗关断模式，可以降低静态电流损耗。进入关断模式后，器件的偏置电路被禁用，放大器输出变为高阻状态，BIAS 端被驱动到地电位。MAX9718 的 SHDM 输入用来控制 SHDN 的极性。SHDM 为高电平时，SHDN 输入为高电平有效；SHDM 为低电平时，SHDN 输入为低电平有效 (见表 1)。MAX9719 具有低电平有效的关断输入 SHDN。

杂音抑制

MAX9718/MAX9719 具有 Maxim 业界领先的杂音抑制电路。启动过程中，放大器共模偏置电压逐渐上升到直流偏置点。进入关断模式时，放大器输出之间具有 100kΩ 的高阻。这种结构大大降低了出现在音频波段的能量。

表 1 关断模式选择
(仅 MAX9718)

SHDM	SHDN	OPERATIONAL MODE
0	0	Shutdown
0	1	Normal operation
1	0	Normal operation
1	1	Shutdown

应用信息

BTL 放大器

MAX9718/MAX9719 使用差分方式驱动负载，这种配置称为桥接负载或 BTL。BTL 配置 (图 1) 优于单端配置，单端配置的一个负载端接地。在相同条件下，差分方式驱动负载得到的输出电压是单端放大器的二倍。因此，器件的差分增益是输入放大器闭环增益的二倍。有效增益可以用下列公式计算：

由于输出电压加倍，在下列公式中用 $2 \times V_{OUT(P-P)}$ 替代 $V_{OUT(P-P)}$ 可以得到四倍的输出功率：

$$V_{RMS} = \frac{V_{OUT(P-P)}}{2\sqrt{2}}$$

$$P_{OUT} = \frac{V_{RMS}^2}{R_L}$$

由于差分输出偏置在电源中点，负载两端没有净直流电压。这样就可以省去单端放大器中所需要的隔直电容。这些电容体积大、成本高，既浪费电路板空间，又降低了低频性能。

低成本、单声道/立体声、1.4W差分音频功率放大器

MAX9718/MAX9719

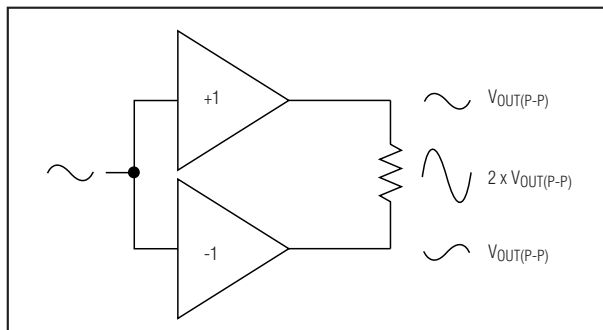


图1、桥接负载配置

功率耗散与散热

在标准工作条件下，MAX9718/MAX9719可以耗散绝大部分功率，在“极限条件”部分的连续功率耗散中给出了每种封装的最大功率耗散值，也可以用以下公式计算：

$$P_{D(MAX)} = \frac{T_{J(MAX)} - T_A}{\theta_{JA}}$$

式中 $T_{J(MAX)}$ 是 $+150^{\circ}\text{C}$ ， T_A 是环境温度， θ_{JA} 是“极限条件”部分规定的降额系数的倒数，单位为 $^{\circ}\text{C}/\text{W}$ 。例如，TQFN封装的 θ_{JA} 是 $+59.2^{\circ}\text{C}/\text{W}$ 。

与单端配置相比，BTL配置输出功率的增加直接导致了内部功耗的增加。给定 V_{CC} 和负载后，内部功耗的最大值由下式计算：

$$P_{D(MAX)} = \frac{2V_{CC}^2}{\pi^2 R_L}$$

若在给定条件下内部功耗超出了给定封装所允许的最大值，通过增大接地面积、提高散热能力，以及增大器件引线的尺寸（见“布线与接地”部分）可以降低功耗。其他降低功耗的方法有：减小 V_{CC} 、增大负载阻抗、降低环境温度、减小增益或减小输入信号等。

热过载保护会限制 MAX9718/MAX9719 的总功耗。当结点温度超过 $+160^{\circ}\text{C}$ 时，热保护电路将禁用放大器输出级。结点温度下降 15°C 后再启动放大器。连续热过载情况下，随着器件升温、降温而产生脉冲输出。

为获得最佳的功率耗散与散热条件， μMAX 、TDFN、TQFN 和 TSSOP 封装上的裸露焊盘应与大面积地层相连。

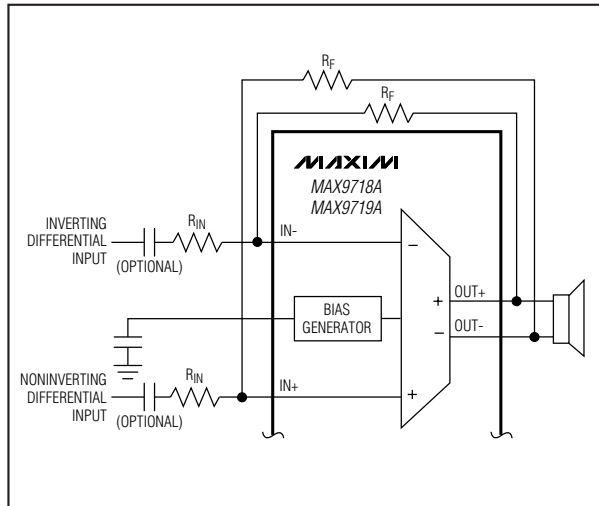


图2、设置 MAX9718A/MAX9719A 的增益

固定差分增益

MAX9718B、MAX9718C、MAX9718D、MAX9719B、MAX9719C 和 MAX9719D 具有内部固定增益（见选择指南）。这简化了设计、减小了外形尺寸、并省去了增益设定电阻。典型工作电路中的电阻 R_1 和 R_2 用来获得每个固定增益。

可调差分增益

增益设置电阻

用外部反馈电阻设置 MAX9718A 和 MAX9719A 的增益。电阻 R_F 和 R_{IN} (图 2) 按照下式设置放大器增益：

$$A_V = \frac{R_F}{R_{IN}}$$

式中 A_V 是所期望的电压增益。于是， R_{IN} 取 $10\text{k}\Omega$ ， R_F 取 $20\text{k}\Omega$ 时增益为 $2\text{V}/\text{V}$ ，或 6dB 。

R_F 可以是固定电阻或可变电阻，允许使用数控电位器在软件控制下改变增益。

低成本、单声道/立体声、 1.4W差分音频功率放大器

输入滤波器

全差分放大器的输入可以偏置在电源中点以外的电压。共模反馈电路用来调节输入偏置，确保输出偏置始终保持在电源中点处。只要共模输入电压在“电气特性”表指定的额定工作范围以内，就不需要输入电容。

如果使用了输入电容，输入电容 C_{IN} 与 R_{IN} 一起构成了高通滤波器，可以消除输入信号中的直流偏置。交流耦合电容允许放大器为信号提供最佳的直流偏置。假定信号源阻抗为 0，高通滤波器的 -3dB 点为：

$$f_{-3dB} = \frac{1}{2\pi R_{IN} C_{IN}}$$

如果 f_{-3dB} 设置过高，会影响放大器的低频响应。选用具有低电压系数电介质的电容，如钽或铝电解电容。陶瓷电容等高电压系数电容可能会导致低频失真加剧。

BIAS 电容

BIAS 引脚是内部产生的 $V_{CC}/2$ 偏置电压的输出端。BIAS 旁路电容 C_{BIAS} 通过降低电源与共模偏置节点的噪声源可以改善 PSRR 和 THD+N 性能，并为扬声器放大器提供无杂音的启动直流偏置波形。用 $0.1\mu F$ 电容将 BIAS 旁路到 GND。大容量值的 C_{BIAS} (高达 $1\mu F$) 可以改善 PSRR 性能，但使 t_{ON}/t_{OFF} 时间变慢。 $1\mu F$ C_{BIAS} 电容使导通/关闭时间放慢 10 倍，但使 PSRR 改善 20dB (1kHz)。BIAS 处不要接外部负载。

电源旁路

适当的电源旁路可以确保低噪声、低失真工作，在 V_{CC} 与 GND 之间接 $1\mu F$ 陶瓷电容。根据具体应用的需求，可以添加额外的大电容。旁路电容应尽可能靠近器件安装。

布线与接地

良好的印刷电路板布线是获得最佳性能的关键。在电源输入和放大器输出端使用宽的引线，以降低由于引线的寄生电阻所引起的损耗，并改善器件的散热。良好的接地可以改善音频性能、减小通道间串扰，并防止数字开关噪声耦合到音频信号中。

MAX9718/MAX9719 的 TDFN、TQFN、TSSOP 和 μ MAX 封装的下方都有裸露的散热焊盘。这个焊盘提供从管芯到印刷电路板的直接导热通道，用来降低封装的热阻。如果需要的话，使用多个过孔将裸露焊盘与地层相连。

UCSP 应用信息

有关 UCSP 的最新应用细节，它的结构、外形尺寸、载带信息、印刷电路板技术、焊球-焊盘布局、推荐的回流焊温度曲线以及可靠性测试结果等最新信息，请参考登载于 Maxim 网站：www.maxim-ic.com/ucsp 的应用笔记“UCSP—A Wafer-Level Chip Scale Package”。

选择指南

PART	MONO	STEREO	GAIN (dB)	SELECTABLE SHUTDOWN POLARITY
MAX9718A	√	—	Adjustable	√
MAX9718B	√	—	0	√
MAX9718C	√	—	3	√
MAX9718D	√	—	6	√
MAX9719A	—	√	Adjustable	—
MAX9719B	—	√	0	—
MAX9719C	—	√	3	—
MAX9719D	—	√	6	—

低成本、单声道/立体声、 1.4W差分音频功率放大器

订购信息 (续)

PART	TEMP RANGE	PIN-PACKAGE	GAIN (dB)
MAX9718BEBL-T	-40°C to +85°C	3 x 3 UCSP	0
MAX9718BETB	-40°C to +85°C	10 TDFN-EP*	0
MAX9718BEUB	-40°C to +85°C	10 μ MAX-EP*	0
MAX9718CEBL-T	-40°C to +85°C	3 x 3 UCSP	3
MAX9718CETB	-40°C to +85°C	10 TDFN-EP*	3
MAX9718CEUB	-40°C to +85°C	10 μ MAX-EP*	3
MAX9718DEBL-T	-40°C to +85°C	3 x 3 UCSP	6
MAX9718DETB	-40°C to +85°C	10 TDFN-EP*	6
MAX9718DEUB	-40°C to +85°C	10 μ MAX-EP*	6
MAX9719AEBE-T	-40°C to +85°C	4 x 4 UCSP	Adj
MAX9719AETE	-40°C to +85°C	16 TQFN-EP*	Adj
MAX9719AEAE	-40°C to +85°C	16 TSSOP-EP*	Adj
MAX9719BEBE-T	-40°C to +85°C	4 x 4 UCSP	0
MAX9719BETE	-40°C to +85°C	16 TQFN-EP*	0
MAX9719BEAE	-40°C to +85°C	16 TSSOP-EP*	0
MAX9719CEBE-T	-40°C to +85°C	4 x 4 UCSP	3
MAX9719CETE	-40°C to +85°C	16 TQFN-EP*	3
MAX9719CEAE	-40°C to +85°C	16 TSSOP-EP*	3
MAX9719DEBE-T	-40°C to +85°C	4 x 4 UCSP	6
MAX9719DETE	-40°C to +85°C	16 TQFN-EP*	6
MAX9719DEAE	-40°C to +85°C	16 TSSOP-EP*	6

*EP = Exposed paddle.

UCSP标记信息



■: A1 Bump indicator

AAA: Product code

XXX: Lot code

芯片信息

MAX9718 TRANSISTOR COUNT: 2359

MAX9719 TRANSISTOR COUNT: 4447

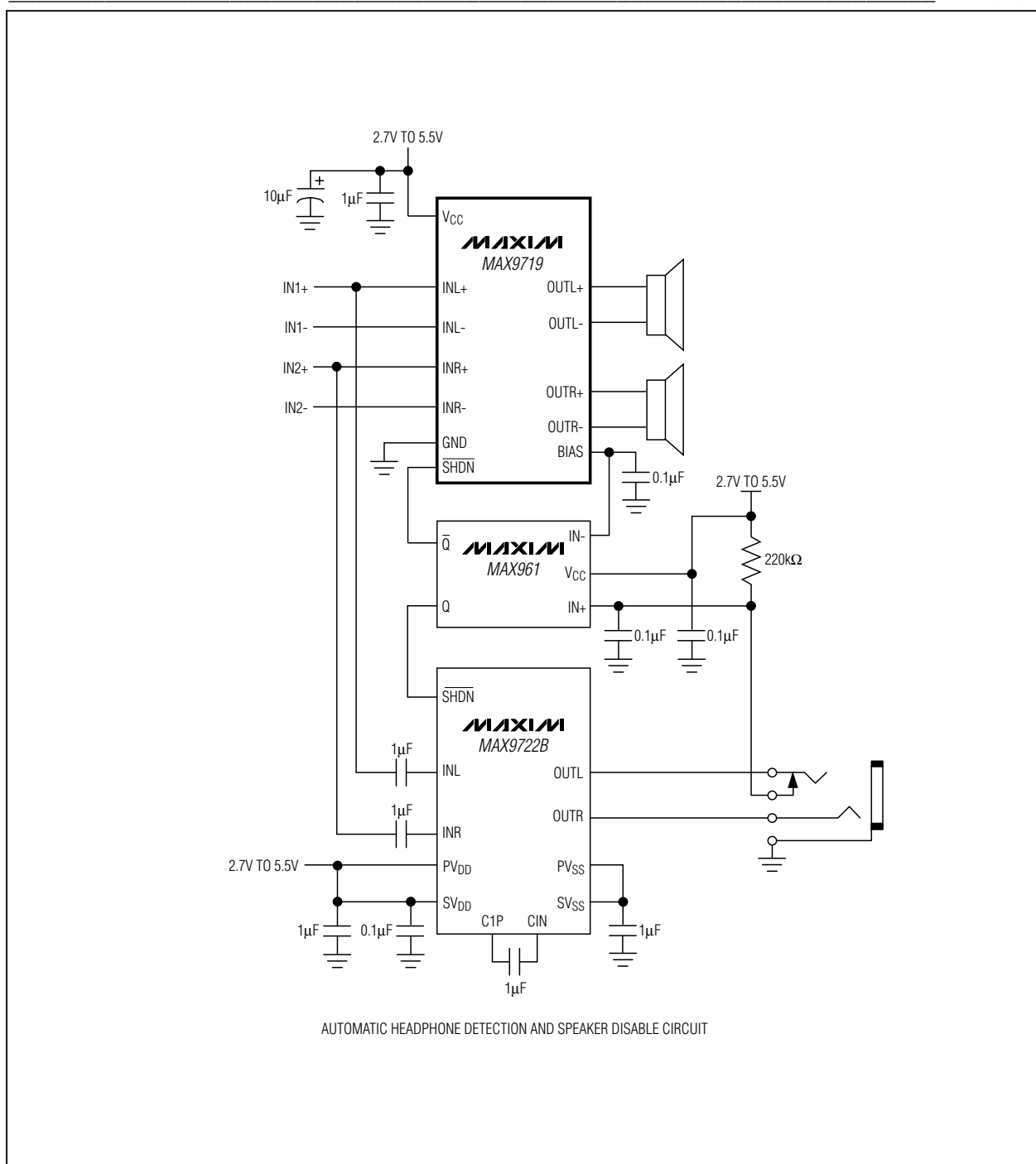
PROCESS: BiCMOS

MAX9718/MAX9719

低成本、单声道/立体声、 1.4W差分音频功率放大器

MAX9718/MAX9719

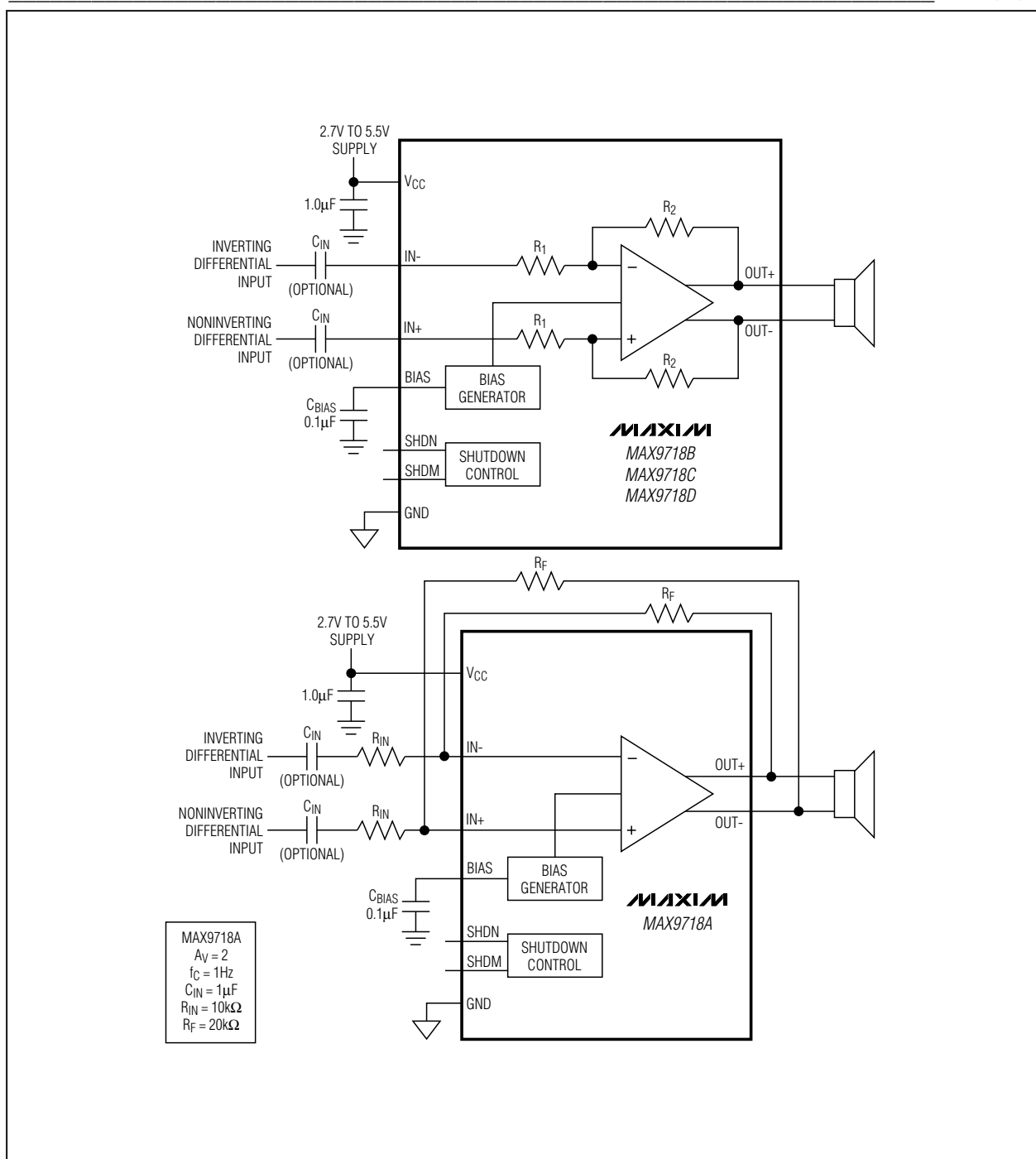
系统框图



低成本、单声道/立体声、 1.4W差分音频功率放大器

功能框图

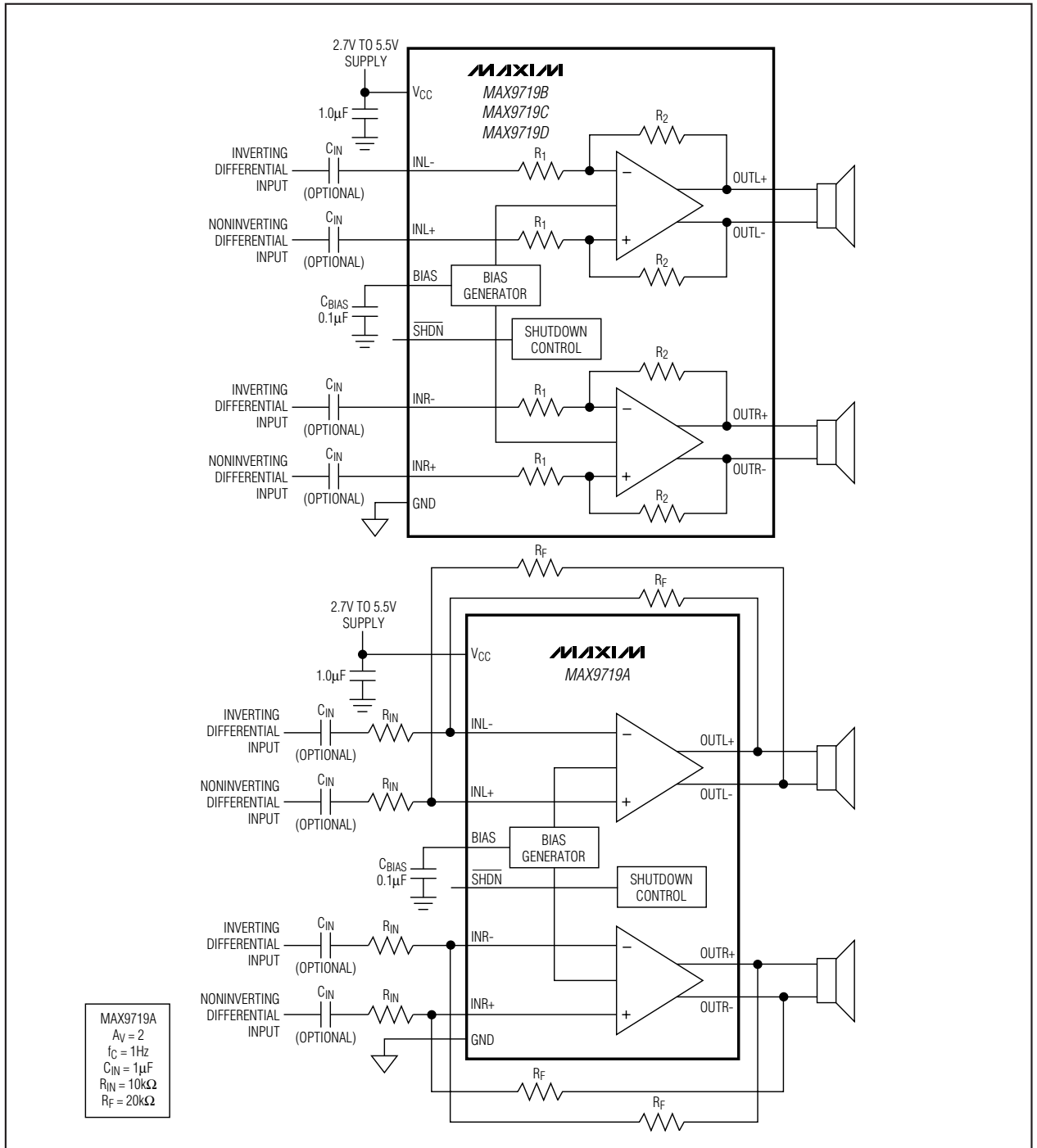
MAX9718/MAX9719



低成本、单声道/立体声、 1.4W差分音频功率放大器

MAX9718/MAX9719

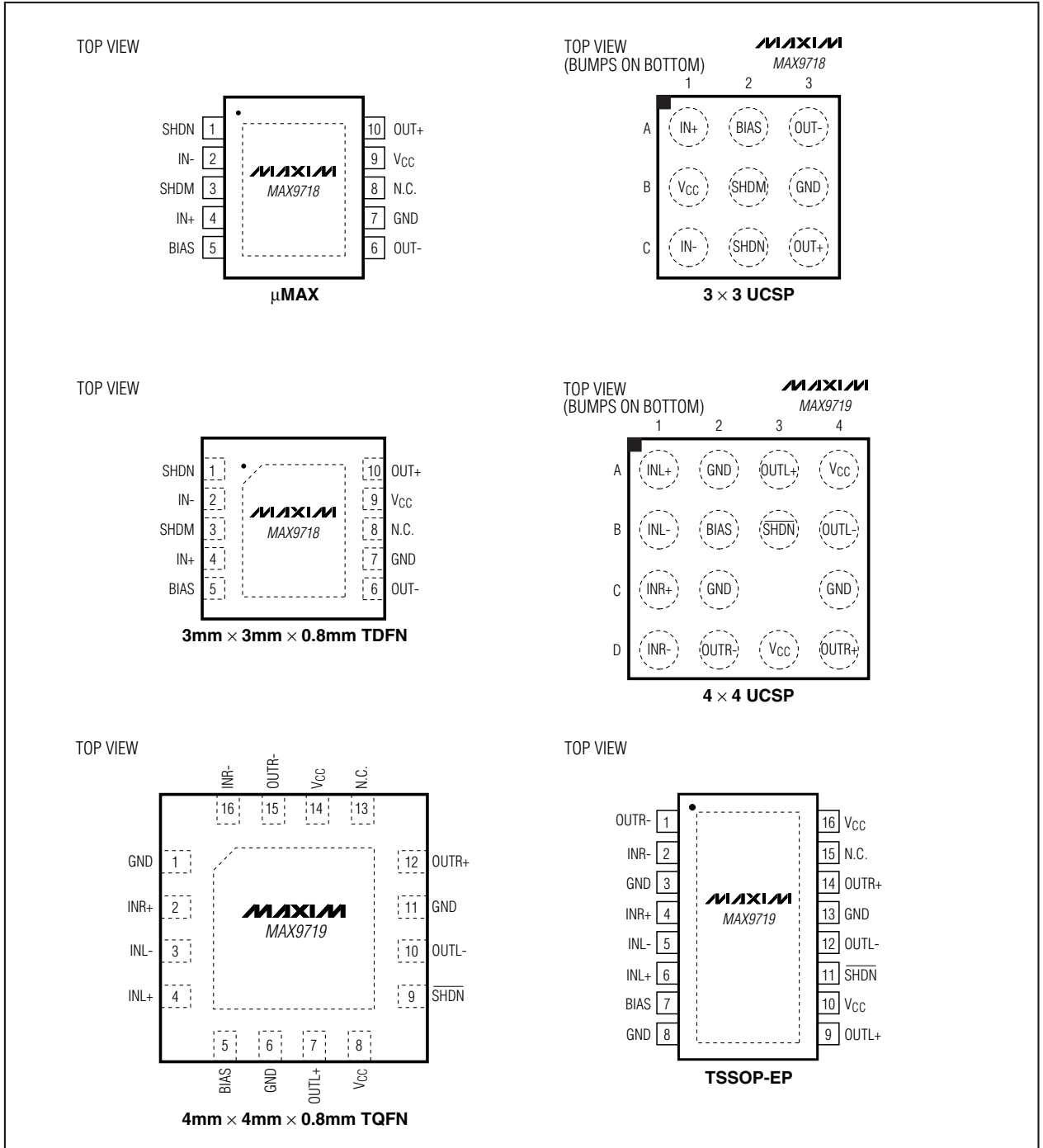
功能框图 (续)



低成本、单声道/立体声、 1.4W差分音频功率放大器

引脚配置

MAX9718/MAX9719

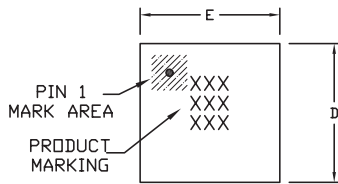


低成本、单声道/立体声、 1.4W差分音频功率放大器

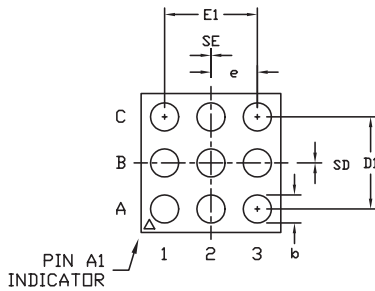
封装信息

(本数据资料提供的封装图可能不是最近的规格，如需最近的封装外型信息，请查询 www.maxim-ic.com/packages。)

MAX9718/MAX9719



TOP VIEW



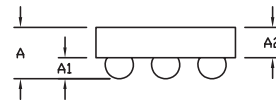
BOTTOM VIEW

COMMON DIMENSIONS	
A	0.62±0.05-0.08
A1	0.29±0.02
A2	0.33 REF.
b	∅0.35±0.03
D1	1.00 BASIC
E1	1.00 BASIC
e	0.50 BASIC
SD	0.00 BASIC
SE	0.00 BASIC

PKG. CODE	VARIABLE DIMENSIONS		DEPOPULATED SOLDER BALLS
	D	E	
B9-1	1.52±0.05	1.52±0.05	NONE
B9-2	1.52±0.05	1.52±0.05	B2
B9-3	1.52±0.05	1.52±0.05	B1, B2, B3
B9-4	1.60±0.05	1.60±0.05	NONE
B9-5	1.60±0.05	1.60±0.05	B2
B9-6	1.60±0.05	1.60±0.05	B1, B2, B3

NOTES:

1. ALL DIMENSIONS ARE IN MILLIMETERS.
2. PRODUCT MARKING: NUMBER OF CHARACTERS AND LINES VARY PER PRODUCT.



SIDE VIEW

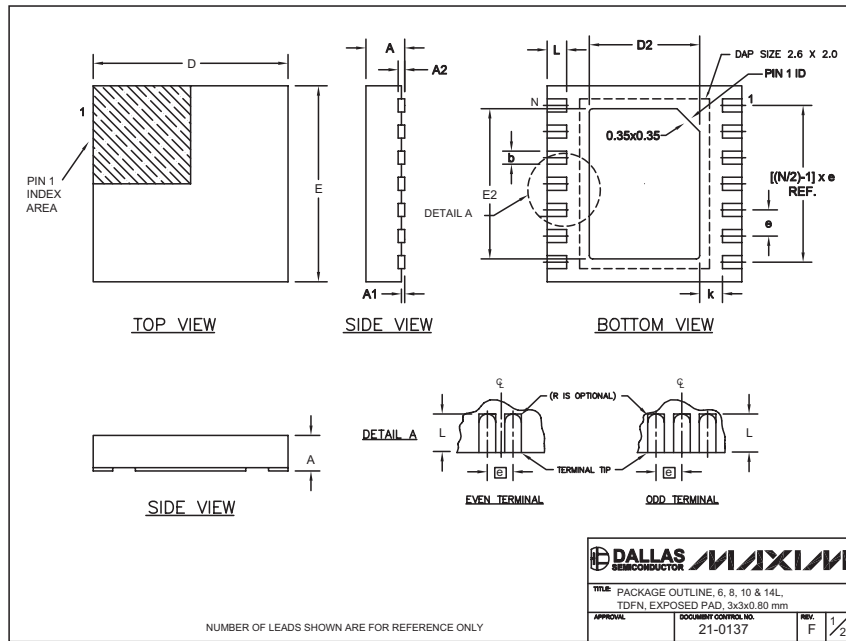
PROPRIETARY INFORMATION TITLE: PACKAGE OUTLINE, 3x3 UCSP		
APPROVAL	DOCUMENT CONTROL NO. 21-0093	REV. I 1/1

低成本、单声道/立体声、 1.4W差分音频功率放大器

封装信息 (续)

(本数据资料提供的封装图可能不是最近的规格，如需最近的封装外型信息，请查询 www.maxim-ic.com/packages。)

MAX9718/MAX9719



COMMON DIMENSIONS							
SYMBOL	MIN.	MAX.					
A	0.70	0.80					
D	2.90	3.10					
E	2.90	3.10					
A1	0.00	0.05					
L	0.20	0.40					
k	0.25 MIN.						
A2	0.20 REF.						

PACKAGE VARIATIONS							
PKG. CODE	N	D2	E2	e	JEDEC SPEC	b	[(N/2)-1] x e
T633-1	6	1.50±0.10	2.30±0.10	0.95 BSC	MO229 / WEEA	0.40±0.05	1.90 REF
T833-1	8	1.50±0.10	2.30±0.10	0.65 BSC	MO229 / WEEC	0.30±0.05	1.95 REF
T1033-1	10	1.50±0.10	2.30±0.10	0.50 BSC	MO229 / WEED-3	0.25±0.05	2.00 REF
T1433-1	14	1.70±0.10	2.30±0.10	0.40 BSC	----	0.20±0.03	2.40 REF
T1433-2	14	1.70±0.10	2.30±0.10	0.40 BSC	----	0.20±0.03	2.40 REF

NOTES:

- ALL DIMENSIONS ARE IN mm. ANGLES IN DEGREES.
- COPLANARITY SHALL NOT EXCEED 0.08 mm.
- WARPAGE SHALL NOT EXCEED 0.10 mm.
- PACKAGE LENGTH/PACKAGE WIDTH ARE CONSIDERED AS SPECIAL CHARACTERISTIC(S).
- DRAWING CONFORMS TO JEDEC MO229, EXCEPT DIMENSIONS "D2" AND "E2", AND T1433-1 & T1433-2.
- "N" IS THE TOTAL NUMBER OF LEADS.

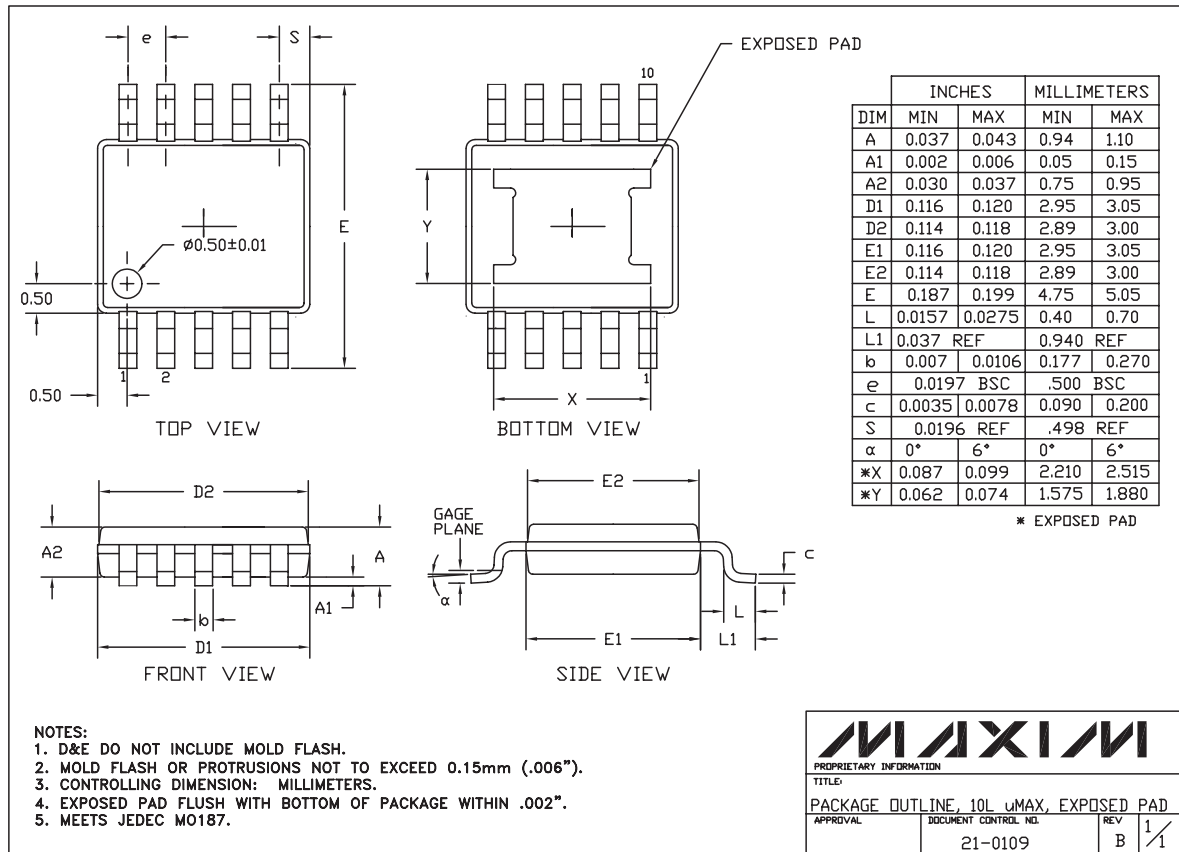
DALLAS SEMICONDUCTOR		MAXIM	
TITLE: PACKAGE OUTLINE, 6, 8, 10 & 14L, TDFN, EXPOSED PAD, 3x3x0.80 mm			
APPROVAL:	DOCUMENT CONTROL NO. 21-0137	REV. F	2/2

低成本、单声道/立体声、 1.4W差分音频功率放大器

封装信息 (续)

(本数据资料提供的封装图可能不是最近的规格，如需最近的封装外型信息，请查询 www.maxim-ic.com/packages。)

MAX9718/MAX9719

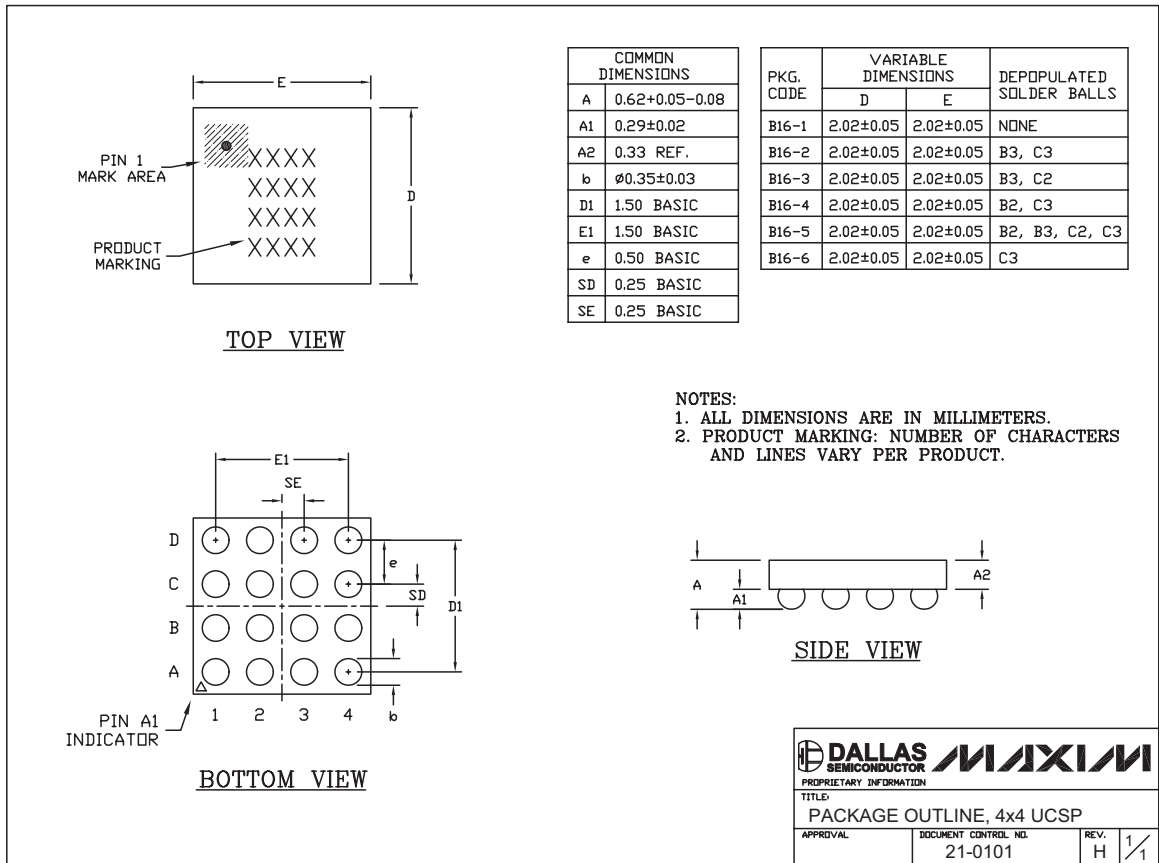


10L UMAX, EXPOSED PADS

低成本、单声道/立体声、 1.4W差分音频功率放大器

封装信息 (续)

(本数据资料提供的封装图可能不是最近的规格，如需最近的封装外型信息，请查询 www.maxim-ic.com/packages。)



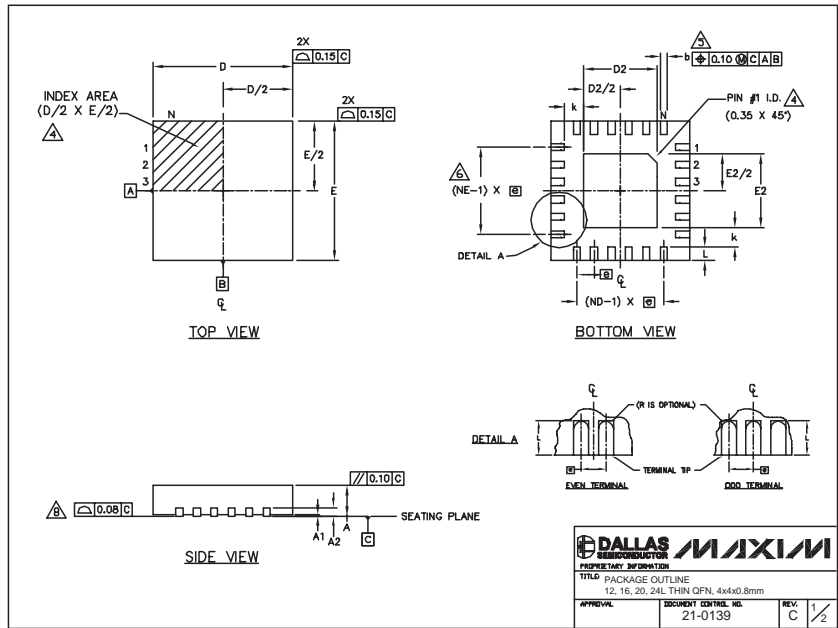
MAX9718/MAX9719

低成本、单声道/立体声、 1.4W差分音频功率放大器

封装信息 (续)

(本数据资料提供的封装图可能不是最近的规格, 如需最近的封装外型信息, 请查询 www.maxim-ic.com/packages.)

MAX9718/MAX9719



COMMON DIMENSIONS												
PKG	12L 4x4			16L 4x4			20L 4x4			24L 4x4		
REF.	MIN.	NDM.	MAX.	MIN.	NDM.	MAX.	MIN.	NDM.	MAX.	MIN.	NDM.	MAX.
A	0.70	0.75	0.80	0.70	0.75	0.80	0.70	0.75	0.80	0.70	0.75	0.80
A1	0.0	0.02	0.05	0.0	0.02	0.05	0.0	0.02	0.05	0.0	0.02	0.05
A2	0.20 REF.			0.20 REF.			0.20 REF.			0.20 REF.		
b	0.25	0.30	0.35	0.25	0.30	0.35	0.20	0.25	0.30	0.18	0.23	0.30
D	3.90	4.00	4.10	3.90	4.00	4.10	3.90	4.00	4.10	3.90	4.00	4.10
E	3.90	4.00	4.10	3.90	4.00	4.10	3.90	4.00	4.10	3.90	4.00	4.10
e	0.80 BSC.			0.65 BSC.			0.50 BSC.			0.50 BSC.		
k	0.25	-	-	0.25	-	-	0.25	-	-	0.25	-	-
L	0.43	0.55	0.65	0.43	0.55	0.65	0.43	0.55	0.65	0.30	0.40	0.50
N	12			16			20			24		
ND	3			4			5			6		
NE	3			4			5			6		
JEDEC Ver.	WGGB			WGGC			WGGD-1			WGGD-2		

EXPOSED PAD VARIATIONS									
PKG CODES	D2			E2			DOWN BENDS ALLOWED		
	MIN.	NDM.	MAX.	MIN.	NDM.	MAX.			
T1244-2	1.95	2.10	2.25	1.95	2.10	2.25	NO		
T1244-3	1.95	2.10	2.25	1.95	2.10	2.25	YES		
T1244-4	1.95	2.10	2.25	1.95	2.10	2.25	NO		
T1644-2	1.95	2.10	2.25	1.95	2.10	2.25	NO		
T1644-3	1.95	2.10	2.25	1.95	2.10	2.25	YES		
T1644-4	1.95	2.10	2.25	1.95	2.10	2.25	NO		
T2044-1	1.95	2.10	2.25	1.95	2.10	2.25	NO		
T2044-2	1.95	2.10	2.25	1.95	2.10	2.25	YES		
T2044-3	1.95	2.10	2.25	1.95	2.10	2.25	NO		
T2444-1	2.45	2.60	2.63	2.45	2.60	2.63	NO		
T2444-2	1.95	2.10	2.25	1.95	2.10	2.25	YES		
T2444-3	2.45	2.60	2.63	2.45	2.60	2.63	YES		
T2444-4	2.45	2.60	2.63	2.45	2.60	2.63	NO		

NOTES:

- DIMENSIONING & TOLERANCING CONFORM TO ASME Y14.5M-1994.
- ALL DIMENSIONS ARE IN MILLIMETERS. ANGLES ARE IN DEGREES.
- N IS THE TOTAL NUMBER OF TERMINALS.
- THE TERMINAL #1 IDENTIFIER AND TERMINAL NUMBERING CONVENTION SHALL CONFORM TO JEDEC 95-1 SPP-012. DETAILS OF TERMINAL #1 IDENTIFIER ARE OPTIONAL, BUT MUST BE LOCATED WITHIN THE ZONE INDICATED. THE TERMINAL #1 IDENTIFIER MAY BE EITHER A MOLD OR MARKED FEATURE.
- DIMENSION b APPLIES TO METALLIZED TERMINAL AND IS MEASURED BETWEEN 0.25 mm AND 0.30 mm FROM TERMINAL TIP.
- ND AND NE REFER TO THE NUMBER OF TERMINALS ON EACH D AND E SIDE RESPECTIVELY.
- DEPOPULATION IS POSSIBLE IN A SYMMETRICAL FASHION.
- COPLANARITY APPLIES TO THE EXPOSED HEAT SINK SLUG AS WELL AS THE TERMINALS.
- DRAWING CONFORMS TO JEDEC M0220, EXCEPT FOR T2444-1, T2444-3 AND T2444-4.

DALLAS MAXIM PROPRIETARY INFORMATION
TITLE: PACKAGE OUTLINE
12, 16, 20, 24L THIN QFN, 4x4x0.8mm
APPROVAL: _____ DOCUMENT CONTROL NO.: 21-0139 REV: C 1/2